

Reglerteknik D3

(Kurs nr ERE 100)

Tentamen 010823

Tid: 14:15-18:15,

Lokal: V-huset

Lärare: Stefan Pettersson, tel 5146

Tentamen omfattar 25 poäng, där betyg tre fordrar 10 poäng, betyg fyra 15 poäng och betyg fem 20 poäng.

Tentamenresultat anslås senast den *11 september* på avdelningens anslagstavla.

Granskning av rättning sker den *11 och 12 september* kl 12:30-13:00 på avdelningen.

Tillåtna hjälpmedel:

- Formelsamling i reglerteknik
- Bode diagram
- Matematiska och fysikaliska tabeller, t ex Beta och Physics handbook
- Kalkylator (med rensat minne)

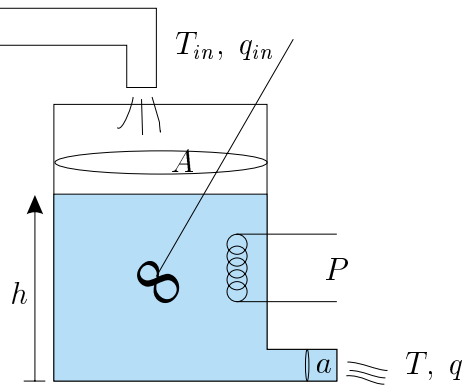
Lycka till!

Institutionen för signaler och system
Avdelningen för reglerteknik och automation
Chalmers tekniska högskola



1

Betrakta nedanstående tank med area A , där vätska med temperaturen T_{in} rinner in i tanken med flöde q_{in} .



Vätskan med volymen V värms upp genom att elektrisk effekt P tillförs. Ut rinner vätska med temperaturen T och flöde q .

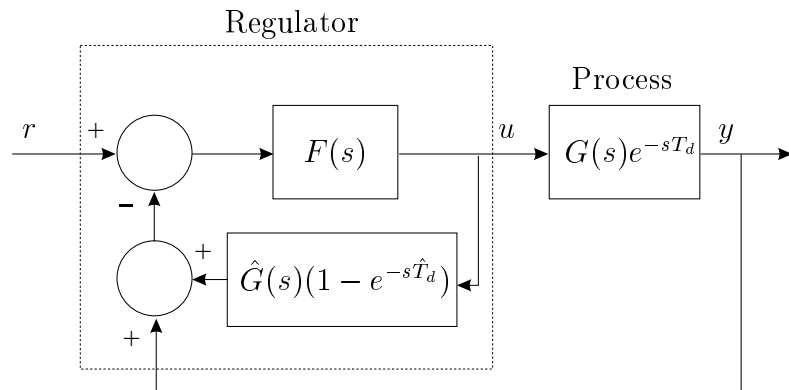
Beteckna utloppsarean med a , vätskans densitet med ρ och dess värmekapacitet med c , och antag perfekt omrörning utan värmeförluster.

(a) Välj lämpliga tillstånd och ställ upp en tillståndsmodell där P , T_{in} och q_{in} är insignaler. Låt utflödet bestämmas genom $q = a\sqrt{2gh}$ (Bernoullis ekvation). (3p)

(b) Linjärisera modellen kring arbetspunkten P^0 , T_{in}^0 och q_{in}^0 . Vad blir tillståndens arbetspunkt? (2p)

2

Figuren nedan visar en s k Otto Smith-regulator, avsedd att reglera processer med döttidsdominerad dynamik.



Processen *antas* ha överföringsfunktionen $\hat{G}(s)e^{-s\hat{T}_d}$ vilken ingår i regulatorn, där $\hat{G}(s)$ saknar dödtid. Processen skiljer sig från den antagna modellen och beskrivs med överföringsfunktionen $G(s)e^{-sT_d}$.

- (a) Bestäm överföringsfunktionen $\frac{Y(s)}{R(s)}$. (2p)

Antag i följande uppgifter att $\hat{G}(s) \equiv G(s)$ och $\hat{T}_d \equiv T_d$, dvs att processen och modellen av processen är ekvivalenta.

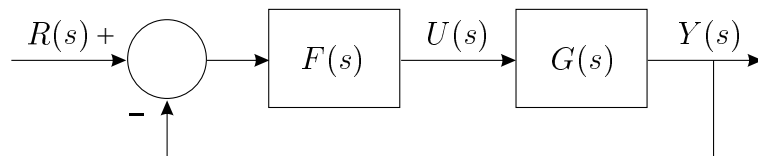
- (b) Hur förenklas $\frac{Y(s)}{R(s)}$? (1p)
- (c) Vad är kravet för att reglersystemet skall vara stabilt? (1p)
- (d) Vad är fördelen med Otto Smith-regulatorn? (1p)

3

Betrakta det öppna systemet

$$G(s) = \frac{Y(s)}{U(s)} = \frac{1}{(s+1)^2}$$

Systemet återkopplas enligt nedan figur, där $F(s)$ representerar regulatorn.



- (a) Bestäm en PI-regulator

$$F(s) = K \left(\frac{1 + Ts}{s} \right)$$

så att fasmarginalen $\phi_m = 45^\circ$ och K maximeras.

(3p)

- (b) Ange i vilket frekvensintervall ω_c måste ligga för att erhålla önskad fasmarginal vid PI-design.

(2p)

4

Systemet

$$G(s) = \frac{e^{-T_d s}}{(s-1)}$$

skall återkopplas med en P-regulator med förstärkning K_p .

(a) För vilka värden på T_d är systemet möjligt att stabiliseras med en P-regulator?

(3p)

(b) Låt $T_d = 0$. Vilka värden på K ger ett stabilt system?

(1p)

5

Modellreduktion innebär att en modell av hög ordning approximeras med en modell av låg ordning. Betrakta modellen

$$G(s) = \frac{4}{(s+2)^2}$$

som approximeras med överföringsfunktionen

$$\hat{G}(s) = \frac{a}{(1+bs)}$$

(a) Bestäm a och b så att lågfrekvensförstärkningen och vinkelfrekvensen vid -60° överensstämmer för modellerna.

(2p)

(b) Rita Bodediagram för de två modellerna.

(2p)

(c) Skissa stegsvaren för de två modellerna.

(2p)

Formler

Linjärisering

Linjärisering i arbetspunkt (x_0, u_0)

$$f(x, u) \approx f(x_0, u_0) + \left. \frac{\partial f}{\partial x} \right|_{(x_0, u_0)} \Delta x + \left. \frac{\partial f}{\partial u} \right|_{(x_0, u_0)} \Delta u$$

där $\Delta x = x - x_0$ och $\Delta u = u - u_0$.

Överföringsfunktion

$$G(s) = \frac{b_1 s^{n-1} + \dots + b_{n-1} s + b_n}{s^n + a_1 s^{n-1} + \dots + a_{n-1} s + a_n}$$

Styrbar kanonisk form

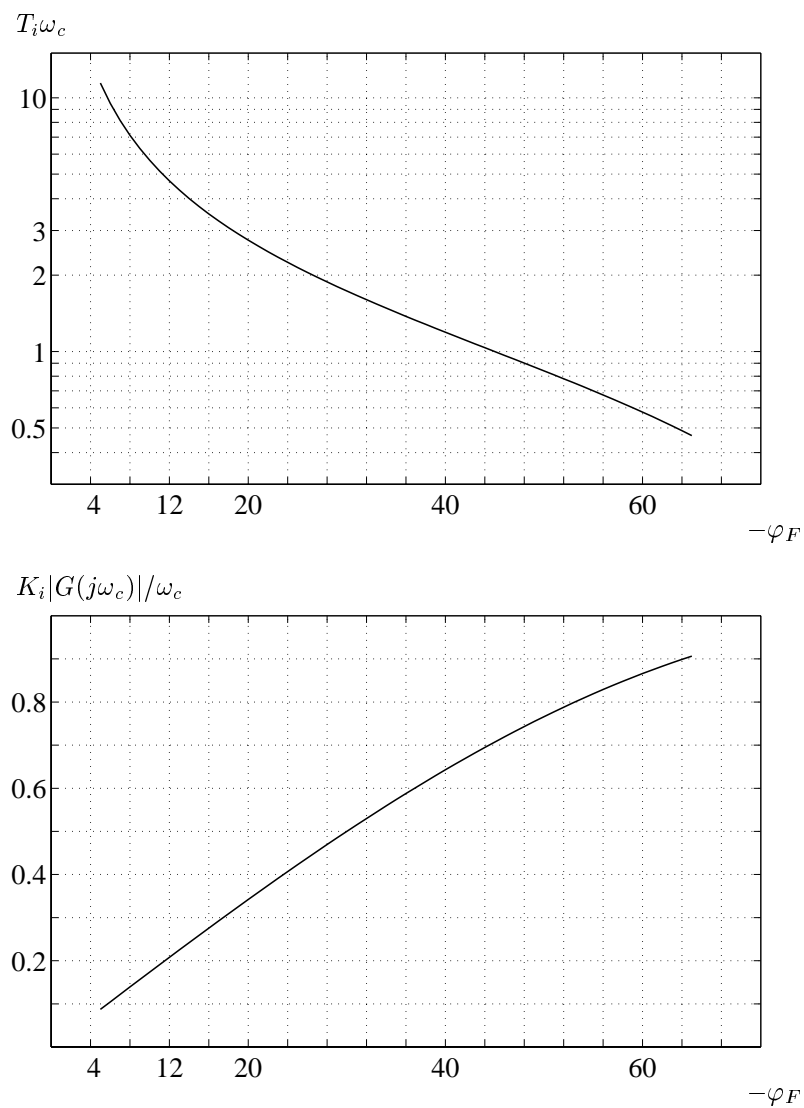
$$\dot{x}(t) = \begin{bmatrix} -a_1 & -a_2 & \dots & -a_{n-1} & -a_n \\ 1 & 0 & & 0 & 0 \\ 0 & 1 & & 0 & 0 \\ \vdots & & \ddots & \vdots & \vdots \\ 0 & 0 & \dots & 1 & 0 \end{bmatrix} x(t) + \begin{bmatrix} 1 \\ 0 \\ 0 \\ \vdots \\ 0 \end{bmatrix} u(t)$$
$$y(t) = [b_1 \ b_2 \ \dots \ b_n] x(t)$$

Observerbar kanonisk form

$$\dot{x}(t) = \begin{bmatrix} -a_1 & 1 & 0 & \dots & 0 \\ -a_2 & 0 & 1 & \dots & 0 \\ \vdots & & & \ddots & \vdots \\ -a_{n-1} & 0 & 0 & \dots & 1 \\ -a_n & 0 & 0 & \dots & 0 \end{bmatrix} x(t) + \begin{bmatrix} b_1 \\ b_2 \\ \vdots \\ b_{n-1} \\ b_n \end{bmatrix} u(t)$$
$$y(t) = [1 \ 0 \ \dots \ 0] x(t)$$

PI-regulator

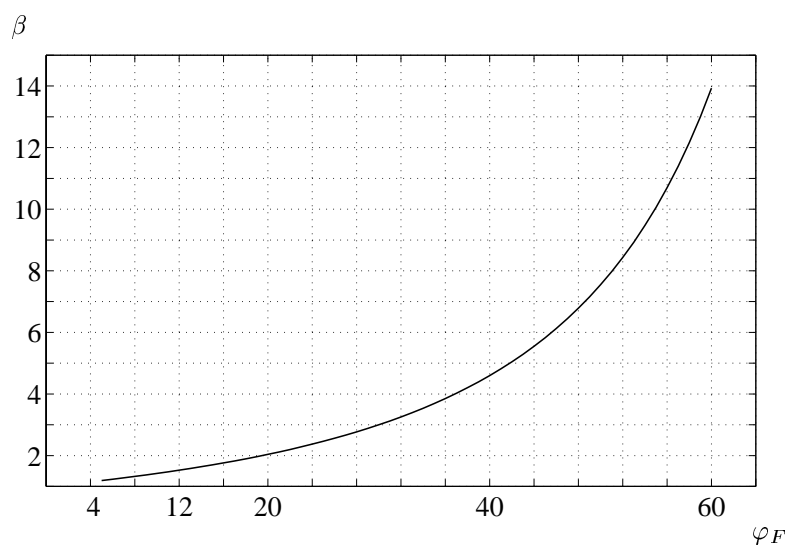
$$F_{PI}(s) = K_i \frac{1 + T_i s}{s}$$



Figur 1: $T_i \omega_c$ och $K_i |G(j\omega_c)| / \omega_c$ som funktion av önskad fasförändring hos regulatorn $\varphi_F(j\omega_c)$ vid överkorsningsfrekvensen ω_c .

PD-regulator

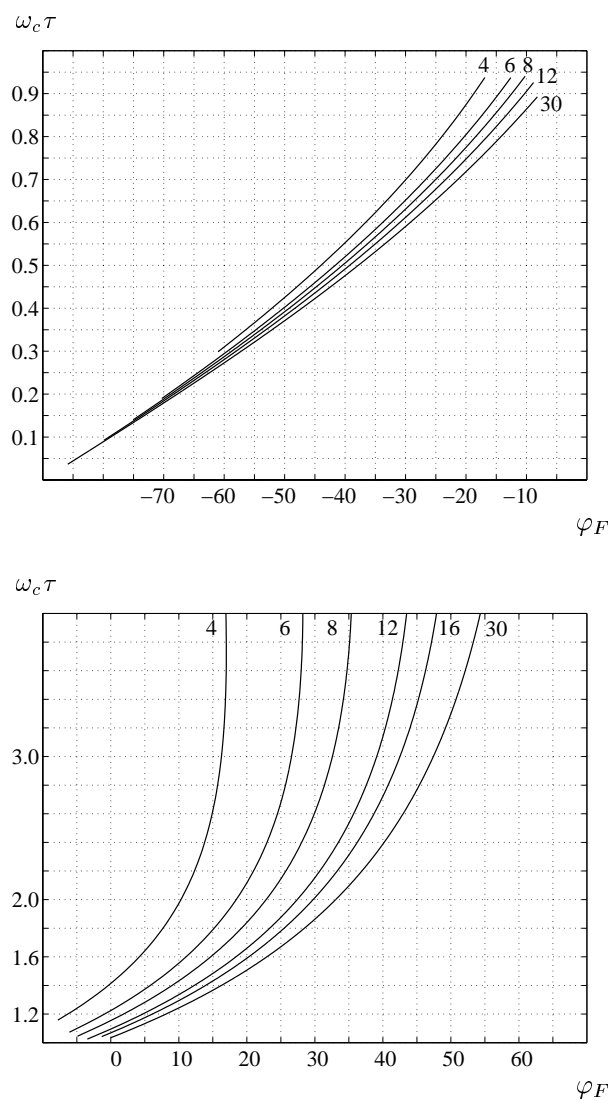
$$F_{PD}(s) = K_p \frac{1 + s\tau}{1 + s\tau/\beta}$$



Figur 2: β som funktion av önskad fasförändring hos regulatorn $\varphi_F(j\omega_c)$ vid överkorsningsfrekvensen ω_c , då $\omega_c = \sqrt{\beta}/\tau$

PIPD-regulator

$$F_{PIPD}(s) = K_i \frac{(1 + s\tau)^2}{s(1 + s\tau/\beta)}$$



Figur 3: $\omega_c\tau$ som funktion av önskad fasförändring hos regulatorn $\varphi_F(j\omega_c)$ vid överkorsningsfrekvensen ω_c för olika värden på β .

1a) Dynamiken ges av balans ekv

$$\left[\begin{array}{c} \text{Ändring av} \\ \text{upplagrad energi} \\ \text{per tidsenhet} \end{array} \right] = [\text{Effekt in}] - [\text{Effekt ut}]$$

$$\left[\begin{array}{c} \text{Ändring av} \\ \text{upplagrad volym} \\ \text{per tidsenhet} \end{array} \right] = [\text{Flöde in}] - [\text{Flöde ut}]$$

$$\text{dus } \begin{cases} \frac{d}{dt} \{ \rho c V T \} = P + \rho c q_{in} T_{in} - \rho c q T \\ \frac{d}{dt} \{ V \} = q_{in} - q \end{cases}$$

$$\begin{cases} \dot{V} T + V \dot{T} = \frac{P}{\rho c} + q_{in} T_{in} - q T \\ \dot{V} = q_{in} - q \end{cases} \Leftrightarrow \begin{cases} (q_{in} - q) T + V \dot{T} = \frac{P}{\rho c} + q_{in} T_{in} - q T \\ \dot{V} = q_{in} - q \end{cases}$$

$$\Leftrightarrow \begin{cases} \dot{T} = \frac{P}{\rho c V} + q_{in} (T_{in} - T) \\ \dot{V} = q_{in} - q = q_{in} - a \sqrt{2gh} \end{cases}$$

Välj ex. tillstånden T och h

$$\boxed{\begin{cases} \dot{T} = \frac{P}{\rho c A h} + \frac{q_{in}}{A h} (T_{in} - T) \\ \dot{h} = \frac{1}{A} (q_{in} - a \sqrt{2gh}) \end{cases}} = \begin{cases} f_1(T, h, P, T_{in}, q_{in}) \\ f_2(h, q_{in}) \end{cases}$$

b) Låt $x = \begin{bmatrix} T \\ h \end{bmatrix}$, $u = \begin{bmatrix} P \\ T_{in} \\ q_{in} \end{bmatrix}$

Linjärisering medför att $\Delta x = \left. \frac{df}{dx} \right|_{x_0, u_0} \Delta x + \left. \frac{df}{du} \right|_{x_0, u_0} \Delta u$

Arbetspunkt $f(x_0, u_0) = 0 \Rightarrow q_{in}^0 - a \sqrt{2gh^0} = 0 \Rightarrow h^0 = \frac{1}{2g} \left(\frac{q_{in}^0}{a} \right)^2$
 $\frac{P^0}{\rho c} + q_{in}^0 (T_{in}^0 - T^0) \Rightarrow T^0 = \frac{P^0}{\rho c q_{in}^0} + T_{in}^0$

$$\left. \frac{df}{dx} \right|_{x_0, u_0} = \begin{bmatrix} \frac{df_1}{dT} & \frac{df_1}{dh} \\ \frac{df_2}{dh} & \frac{df_2}{dq_{in}} \end{bmatrix} = \begin{bmatrix} -\frac{q_{in}^0}{A h^0} & \frac{P^0}{\rho c A h^0} - \frac{q_{in}^0}{A h^0} (T_{in}^0 - T^0) \\ 0 & -\frac{1}{2} \frac{a \sqrt{2g}}{A \sqrt{h^0}} \end{bmatrix} = \begin{bmatrix} -\frac{q_{in}^0}{A h^0} & 0 \\ 0 & -\frac{1}{2} \frac{q_{in}^0}{A h^0} \end{bmatrix}$$

$$\left. \frac{df}{du} \right|_{x_0, u_0} = \begin{bmatrix} \frac{df_1}{dP} & \frac{df_1}{dT_{in}} & \frac{df_1}{dq_{in}} \\ \frac{df_2}{dP} & \frac{df_2}{dT_{in}} & \frac{df_2}{dq_{in}} \end{bmatrix} = \begin{bmatrix} \frac{1}{\rho c A h^0} & \frac{q_{in}^0}{A h^0} & \frac{T_{in}^0}{A h^0} \\ 0 & 0 & 1/A \end{bmatrix}$$

$$\begin{bmatrix} \Delta T \\ \Delta h \end{bmatrix} = \begin{bmatrix} -\frac{q_{in}^0}{A h^0} & 0 \\ 0 & -\frac{1}{2} \frac{q_{in}^0}{A h^0} \end{bmatrix} \begin{bmatrix} \Delta T \\ \Delta h \end{bmatrix} + \begin{bmatrix} \frac{1}{\rho c A h^0} & \frac{q_{in}^0}{A h^0} & \frac{T_{in}^0}{A h^0} \\ 0 & 0 & 1/A \end{bmatrix} \begin{bmatrix} \Delta P \\ \Delta T_{in} \\ \Delta q_{in} \end{bmatrix}$$

der $\Delta T = T - T^0$, $\Delta h = h - h^0$, $\Delta P = P - P^0$, $\Delta T_{in} = T_{in} - T_{in}^0$, $\Delta q_{in} = q_{in} - q_{in}^0$

$$2d) \begin{cases} U(s) = \{R(s) - Y(s) - \hat{G}(s)(1 - e^{-sT_d})U(s)\} F(s) \\ Y(s) = G(s)e^{-sT_d}U(s) \end{cases}$$

$$Y(s) = G(s)e^{-sT_d} \frac{\{R(s) - Y(s)\} F(s)}{1 + \hat{G}(s)(1 - e^{-sT_d})F(s)}$$

$$\Rightarrow \frac{Y(s)}{R(s)} = \frac{G(s)e^{-sT_d} F(s)}{1 + \hat{G}(s)(1 - e^{-sT_d})F(s) + G(s)e^{-sT_d} F(s)}$$

$$b) \hat{G}(s) = G(s) \text{ och } \hat{T}_d = T_d \Rightarrow \frac{Y(s)}{R(s)} = \frac{G(s)e^{-sT_d} F(s)}{1 + G(s)F(s)}$$

c) Stabil om samtliga nollställen hos $1 + G(s)F(s)$ ligger i VHP.

a) Kretsöverföringen innehåller ingen dödtd, vilket innebär att $F(s)$ dimensioneras för processen $G(s)$ utan dödtd.

$$3a) \varphi_m = 180^\circ + \angle G(j\omega_c) + \angle F(j\omega_c), \quad |G(j\omega_c)| |F(j\omega_c)| = 1$$

$$\angle F(j\omega_c) = -90^\circ + \arctan \omega_c T \Rightarrow \omega_c T = \tan(\varphi_m - 90^\circ - \angle G(j\omega_c))$$

$$|F(j\omega_c)| = \frac{K}{\omega_c} \sqrt{1 + (\omega_c T)^2} = \frac{1}{|G(j\omega_c)|} \Rightarrow K = \frac{\omega_c}{|G(j\omega_c)|} \frac{1}{\sqrt{1 + (\omega_c T)^2}}$$

$$K = \frac{\omega_c}{|G(j\omega_c)|} \frac{1}{\sqrt{1 + \tan^2(\varphi_m - 90^\circ - \angle G(j\omega_c))}}$$

$$\text{där } \begin{cases} |G(j\omega_c)| = \frac{1}{1 + \omega_c^2} \\ \angle G(j\omega_c) = -2 \arctan \omega_c \end{cases}$$

ω_c	K
0,1	0,084
1	1,41
1,5	1,856
1,54	1,8603
1,55	1,8605
1,56	1,8602

$$\Rightarrow \max K = 1,86 \text{ inträffande för } \omega_c = 1,55$$

$$\Rightarrow T = 1,71$$

$$b) \begin{matrix} -180^\circ + 0^\circ + \varphi_m & \leq & \angle G(j\omega_c) & \leq & -180^\circ + 90^\circ + \varphi_m \\ \uparrow & & & & \uparrow \\ \text{Rem P-reglering} & & & & \text{Rem I-reglering} \end{matrix}$$

$$-135^\circ \leq -2 \arctan \omega_c \leq -45^\circ$$

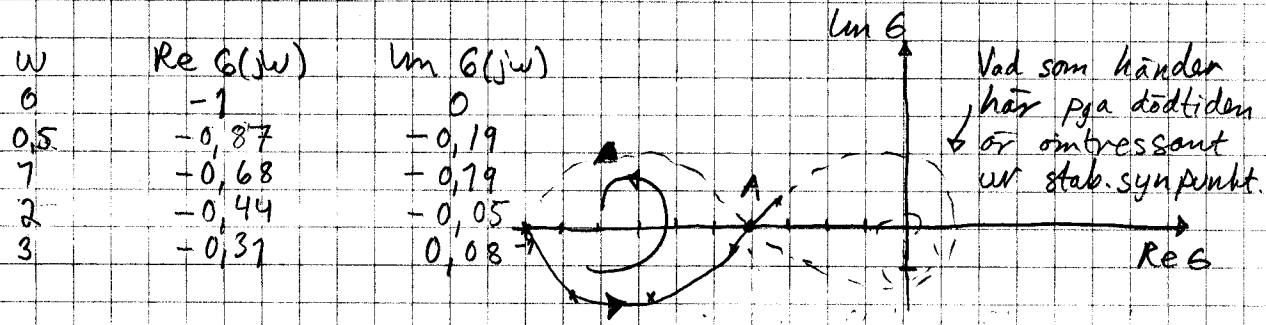
$$0,414 \leq \omega_c \leq 2,42$$

4 a)

$G(s) = \frac{e^{-T_d s}}{s-1}$, 1 pol i HHP $\Rightarrow P=1$
 stabilt om $N=-1$ (moturs) ty då $\sigma = -1$

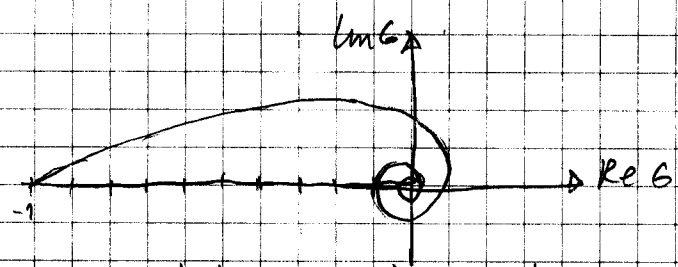
$G(j\omega) = -\frac{(\cos T_d \omega - j \sin T_d \omega)(1+j\omega)}{(1-j\omega)(1+j\omega)} = \underbrace{-\frac{\cos T_d \omega - \omega \sin T_d \omega}{1+\omega^2}}_{\text{Re } G(j\omega)} + j \underbrace{\frac{\sin T_d \omega - \omega \cos T_d \omega}{1+\omega^2}}_{\text{Im } G(j\omega)}$

Rita $G(j\omega)$ för ex. $T_d = 0,5$



Systemet är möjligt att stabilisera för $T_d = 0,5$ med P-regulator ty kurvan "innehåller" en moturs omslingning. När död tiden ökar flyttas punkten A åt vänster och ett snävare intervall för K stabiliserar systemet.

Om $\sin T_d \omega - \omega \cos T_d \omega > 0$ för små ω kommer kurvan att se ut som



och det är inte längre möjligt att stabilisera systemet med en P-regulator.

Ovan krävs innebär att $T_d \omega - \omega < 0$ dvs $T_d < 1$ för att kunna stabilisera systemet eftersom $\sin T_d \omega \approx T_d \omega$ och $\cos T_d \omega \approx 1$ för små ω

b) $1 + \frac{K}{s-1} = 0 \Rightarrow s-1+K=0 \Rightarrow K > 1$

5a) $G(0) = \frac{4}{4} = 1$, $\hat{G}(0) = \frac{a}{1} = 1 \Rightarrow a = 1$

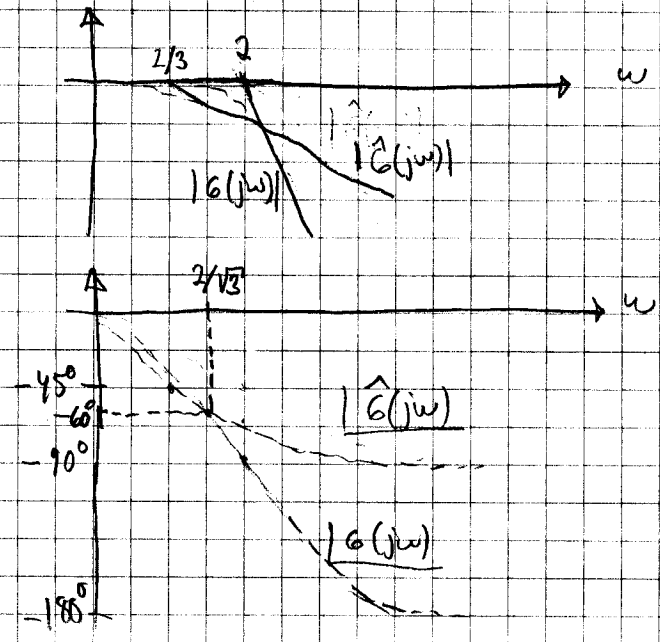
$|G(j\omega)| = |\hat{G}(j\omega)| = -60^\circ \Rightarrow$

$-2 \arctan \frac{\omega}{2} = -60^\circ \Rightarrow \omega = \sqrt{3}$

$-\arctan \frac{b\sqrt{3}}{2} = -60^\circ \Rightarrow b = \frac{3}{2}$

b) $G(s) = \frac{4}{4(1+s/2)^2} = \frac{1}{(1+s/2)^2}$

$\hat{G}(s) = \frac{1}{1 + \frac{3}{2}s}$



c) $Y(s) = \frac{4}{(s+2)^2} = \frac{1}{s} = \frac{A}{s} + \frac{B}{s+2} + \frac{C}{(s+2)^2} = \frac{A(s+2)^2 + Bs(s+2) + Cs}{(s+2)^2 s}$

$\Rightarrow \begin{cases} A+B=0 \\ 4A+2B+C=0 \\ 4A=4 \end{cases} \Rightarrow \begin{cases} A=1 \\ B=-1 \\ C=-2 \end{cases}$

$y(t) = (1 - e^{-2t} - 2te^{-2t}) \quad t > 0$

$\hat{Y}(s) = \frac{2/3}{s+2/3} \cdot \frac{1}{s} = \frac{1}{s} - \frac{1}{s+2/3} \Rightarrow \hat{y}(t) = (1 - e^{-2/3 t}) \quad t > 0$

t	y(t)	y-hat(t)
0	0	0
0,5	0,50	0,28
1	0,59	0,49
1,5	0,80	0,63
2	0,997	0,74

